



Laboratorium EMVO Sp. J. Urbański, Pawelak  
ul. Jasna 1  
00-013 Warszawa

tel. +48 22 780 29 64  
e-mail: laboratorium@emvo.pl



AB 1630

## Sprawozdanie z pomiarów pól elektromagnetycznych - środowisko ogólne nr 27/03/OŚ/2021 - ELT



Nr i nazwa stacji	BT42108 ELBLĄG TARGOWISKO	
Adres	82-300 Elbląg, ul. Brzeska 30, woj. warmińsko-mazurskie	
Opracowanie	Martyna Karczmarczyk	Specjalista ds. pomiarów
Autoryzacja	Andrzej Urbański	Kierownik Laboratorium
Podpis	Podpis jest prawidłowy Dokument podpisany przez Andrzej Urbański Data: 2021.03.30 08:14:22 Powód: Zatwierdzam dokument	
Data	2021-03-26	

„Bez pisemnej zgody Laboratorium niniejsze sprawozdanie nie może być powielane inaczej, jak tylko w całości. Ponadto wyniki dotyczą tylko badanych obiektów przywołanych w niniejszym sprawozdaniu z badań”

## Spis treści

1. Informacje ogólne.....	3
2. Podstawa prawna.....	3
3. Opis pomiarów.....	3
4. Zróżnicowanie dopuszczalne poziomy pól elektromagnetycznych.....	5
5. Charakterystyka źródeł PEM.....	5
6. Wyniki pomiarów.....	5
7. Stwierdzenie zgodności.....	7
8. Oświadczenie.....	8
9. Spis załączników.....	8

## 1. Informacje ogólne.

Zleceniodawca	<b>Axians Networks Poland Sp. z o.o.</b> ul. Żupnicza 17 – 03-821 Warszawa Osoba udzielająca informacji – Piotr Miliszkiewicz
Istotne informacje dostarczone przez klienta	komplet informacji niezbędnych do wykonania pomiarów i opracowania sprawozdania
Dane otrzymane od klienta mogące mieć wpływ na ważność wyników	Dane anten sektorowych, dane anten radioliniowych, parametry pracy instalacji, poprawka pomiarowa
Prowadzący instalację	<b>Polkomtel Infrastruktura sp. z o.o.</b> , ul. Konstruktorska 4, 02-673 Warszawa
Lokalizacja obiektu	82-300 Elbląg, ul. Brzeska 30, woj. warmińsko-mazurskie
Miejsce instalacji anten	Dach budynku
Miejsce instalacji urządzeń	Outdoor
Osoby wykonujące pomiar	Roman Murawski
Data wykonania pomiaru	26.03.2021
Temperatura na początku pomiaru [°C]	13,0
Temperatura na koniec pomiaru [°C]	12,5
Warunki atmosferyczne	Brak opadów
Wilgotność na początku pomiaru [%]	65,0
Wilgotność na koniec pomiaru [%]	60,0
Inne źródła pól elektromagnetycznych oznaczone na załączniku graficznym	Nie występują
Parametry pracy instalacji	Rzeczywisty

## 2. Podstawa prawna.

### 2.1 Normy i rozporządzenia:

- Rozporządzeniem Ministra Klimatu z dnia 17 lutego 2020 r. w sprawie sposobów sprawdzania dotrzymania dopuszczalnych poziomów pól elektromagnetycznych w środowisku (Dz.U. 2020 poz. 258)
- Rozporządzenie Ministra Zdrowia z dnia 17 grudnia 2019 r. w sprawie dopuszczalnych poziomów pól elektromagnetycznych w środowisku (Dz.U. 2019 poz. 2448)
- Obwieszczenie Marszałka Sejmu Rzeczypospolitej Polskiej z dnia 19 lipca 2019 r. w sprawie ogłoszenia jednolitego tekstu ustawy - Prawo ochrony środowiska (Dz.U. 2019 poz. 1396).

## 3. Opis pomiarów

Metodologia pomiarowa	Pomiary w oparciu o Rozporządzeniem Ministra Klimatu z dnia 17 lutego 2020 r. w sprawie sposobów sprawdzania dotrzymania dopuszczalnych poziomów pól elektromagnetycznych w środowisku (Dz.U. 2020 poz. 258).
Cel badań	Określenie wartości natężenia pola elektrycznego w miejscach dostępnych dla ludności.
Opis zestawu pomiarowego	Miernik Narda NBM 550, Sonda EF 9091, o zakresie pomiarowym 0,8 V/m – 300V/m pracująca w paśmie 0,1 – 90 GHz, świadectwo wydane przez Laboratorium Wzorców i Metrologii Pola Elektromagnetycznego, Instytut Telekomunikacji, Teleinformatyki i Akustyki Politechniki Wrocławskiej. Świadectwo ważne do 01.06.2022 r. Miernik Narda NBM 550, Sonda EF 9091 pracująca w zakresie temperatury -10°C - +50°C oraz wilgotności 5% - 95% Niepewność rozszerzona wynosi 58,8% przy poziomie ufności 95% z uwzględnieniem współczynnika rozszerzenia k=2.
Wyposażenie pomocnicze	Termohigrometr Bestone, typ: GM1362-EN-00, nr identyfikacyjny 1222436, świadectwo wzorcowania z dn. 22.12.2015 r. wydane przez Laboratorium Pomiarowe "MUTECH". Przymiar wstęgowy STABILA, nr identyfikacyjny 5/WL/2016, świadectwo wzorcowania z dn. 06.09.2016 r. wydane przez Zespół Laboratoriów wzorcujących Okręgowego Urzędu Miar w Gdańsku. GPS Garmin 64s okresowo sprawdzany w punktach osnowy geodezyjnej klasy 3 na podstawie licencji punktu, zgodnie z procedurą sprawdzeń okresowych IS/PO-16-11/03.
Pomiary zostały wykonane	<ol style="list-style-type: none"> <li>1. na głównych i pomocniczych kierunkach pomiarowych, na kierunkach zbliżonych do azymutów anten oraz w dodatkowych pionach pomiarowych zgodnie z wymaganiami pkt 12, 13, 14 i 19 załącznika do rozporządzenia Ministra Klimatu z dnia 17 lutego 2020 r. (Dz. U. 2020, poz. 258),</li> <li>2. na obszarze pomiarowym, dla którego, na podstawie uprzednio wykonanych obliczeń uzyskanych od zleceniodawcy, stwierdzono możliwość występowania pól elektromagnetycznych o poziomach zbliżonych do poziomów dopuszczalnych zgodnie z wymaganiami pkt 5 ppkt 2 oraz pkt 13 ppkt 1 załącznika do rozporządzenia Ministra Klimatu z dnia 17 lutego 2020 r. (Dz. U. 2020, poz. 258). Wyniki obliczeń nie uwzględniały parametrów pracy instalacji innych operatorów występujących na obiekcie bądź w obszarze pomiarowym.</li> <li>3. w miejscach dostępnych dla ludności.</li> <li>4. miejsca niedostępne podczas wykonywania pomiarów wskazane zostały w pkt 6 (tabeli wyniki pomiarów)</li> <li>5. wyniki pomiarów uzyskane zostały przy uwzględnieniu poprawek pomiarowych przekazanych przez zleceniodawcę oraz przy rzeczywistych warunkach pracy instalacji innych operatorów (w przypadku występowania). W takiej sytuacji uwzględniono jednolitą poprawkę pomiarową wynoszącą 1,4.</li> </ol>
Szczególne warunki podczas wykonywanie pomiarów	Pomiary wykonane zostały podczas obowiązywania w kraju stanu epidemii, zgodnie z art. 122a ust. 1b Ustawy z dnia 27 kwietnia 2001 r. – Prawo ochrony środowiska (Dz. U. z 2019 r. poz. 1396, z późn. zm.9))
Warunki pracy urzędzeń nadawczych	Podczas pomiarów zostały uwzględnione poprawki pomiarowe przekazane przez zleceniodawcę, umożliwiające uwzględnienie maksymalnych parametrów pracy instalacji zgodnie z pkt 7 załącznika do Rozporządzeniem Ministra Klimatu z dnia 17 lutego 2020 r. w sprawie sposobów sprawdzania dotrzymania dopuszczalnych

#### 4. Zróżnicowanie dopuszczalne poziomy pól elektromagnetycznych.

Zakresy znajdują się w Dzienniku Ustaw z dnia 17 grudnia 2019 r. przestawione są w tabeli nr 2 (Dz. U. z 2019r. poz. 2448).

Parametr fizyczny	Składowa elektryczna E (V/m)	Składowa magnetyczna H (A/m)	Gęstość mocy S (W/m <sup>2</sup> )
Zakres Częstotliwości pola elektromagnetycznego			
od 400 MHz do 2000 MHz	$1,375 \times f^{0,5}$	$0,0037 \times f^{0,5}$	$f / 200$
od 2 GHz do 300 GHz	61	0,16	10

#### 5. Charakterystyka źródeł PEM.

Zgodnie z informacją otrzymaną od Klienta pomiary zostały wykonane przy ustawieniach pochylenia anten zgodnych z pkt. 13, ppkt 2 załącznika do rozporządzenia Ministra Klimatu z dnia 17 lutego 2020 roku.

Tabela 1. Anteny sektorowe - dane otrzymane od klienta

Typ anteny	Współrzędne geograficzne	Azymut mechaniczny [°]	Azymut elektryczny [°]	Wysokość środka elektrycznego anten n.p.t. [m]	Pasma częstotliwości	Zakres pochylenia elektrycznego [°]	Średnie pochylenie anten (ustawione do pomiarów PEM) [°]	Kąt pochylenia mechanicznego [°]	Moc EIRP [W]	Suma EIRP [W]
120345	54°10'36.28"N 19°23'54.21"E	30	30	38,2	1800	2-3	2,3	0	3417	16915
					2100	2-3	2,3	0	3603	
					2600	2-3	2,3	0	5492	
					900	2-3	2,3	0	4403	
120345	54°10'35.37"N 19°23'54.74"E	146	146	38,2	1800	2-6,1	3,9	0	3787	18052
					2100	2-6,1	3,9	0	4032	
					2600	2-6,1	3,9	0	5492	
					900	2-6,1	3,9	0	4741	
120345	54°10'36.28"N 19°23'54.21"E	260	260	38,2	1800	2-8,2	4,9	0	3417	16915
					2100	2-8,2	4,9	0	3603	
					2600	2-8,2	4,9	0	5492	
					900	2-8,2	4,9	0	4403	
120115	54°10'36.28"N 19°23'54.21"E	30	30	36,0	2600	2-2,5	2,3	0	15751	15751
120115	54°10'35.37"N 19°23'54.74"E	146	146	36,0	2600	2-5,8	3,9	0	16433	16433
120115	54°10'36.28"N 19°23'54.21"E	260	260	36,0	2600	2-7,8	4,9	0	15751	15751

Tabela 2. Anteny radioliniowe- dane otrzymane od klienta

Typ anteny	Współrzędne geograficzne	Azymut [°]	Średnica [m]	Pasma częstotliwości [GHz]	Zysk energetyczny [dBi]	Moc wyjściowa nadajnika [dBm]	EIRP [W]	Wysokość środka elektrycznego anten n.p.t. [m]
UKY230 41/14H	54°10'35.34"N 19°23'54.76"E	81	0,3	80	46,5	0	44,65	35,7
UKY 230 41/14H	54°10'35.57"N 19°23'54.43"E	164	0,3	80	46,5	-5	141,25	40,1
ABT3 B 0.3 38 HP	54°10'35.57"N 19°23'54.43"E	238	0,3	38	40,5	0	11,22	42,1
ANT2 A 0.3 80 HPX	54°10'36.28"N 19°23'54.21"E	294	0,3	80	46,5	16	1778,28	39,7
VHLP1 -80	54°10'36.28"N 19°23'54.21"E	294	0,3	80	43,5	19	1778,28	35,7
VHLP1 -80	54°10'36.24"N 19°23'54.59"E	352	0,3	80	43,5	0	22,39	35,7

„Bez pisemnej zgody Laboratorium niniejsze sprawozdanie nie może być powielane inaczej, jak tylko w całości. Ponadto wyniki dotyczą tylko badanych obiektów przywołanych w niniejszym sprawozdaniu z badań”

## 6. Wyniki pomiarów.

Wyniki pomiarów pól elektromagnetycznych dla celów ochrony środowiska przedstawia poniższa tabela. Piony pomiarowe zostały przedstawione w zał. 2.

Nr PP	Pole-E [V/m]	Pole-E *kE, +U [V/m]	Pole-H [A/m]	Pole-H *kE +U [A/m]	Wys. pomiaru [m]	Opis pionu	Uwagi	WM <sub>E</sub>	WM <sub>H</sub>
1	<0,8*	<1,78	<0,002	<0,005	0,3-2,0	N:54°10'39.1" E:19°23'57.2"	otoczenie stacji bazowej - 100m wzdłuż gł. osi promieniowania - GKP	<0,046	<0,045
2	0,8	1,78	0,002	0,005	1,2	N:54°10'40.7" E:19°23'58.6"	otoczenie stacji bazowej - 150m wzdłuż gł. osi promieniowania - GKP	0,046	0,045
3	0,9	2,00	0,002	0,005	1,0	N:54°10'42.3" E:19°24'00.2"	otoczenie stacji bazowej - 200m wzdłuż gł. osi promieniowania - GKP	0,051	0,051
4	1,0	2,22	0,003	0,006	1,9	N:54°10'43.5" E:19°24'01.7"	otoczenie stacji bazowej - 250m wzdłuż gł. osi promieniowania - GKP	0,057	0,056
5	<0,8*	<1,78	<0,002	<0,005	0,3-2,0	N:54°10'46.9" E:19°24'04.9"	otoczenie stacji bazowej - 385m wzdłuż gł. osi promieniowania - GKP	<0,046	<0,045
6	<0,8*	<1,78	<0,002	<0,005	0,3-2,0	N:54°10'34.1" E:19°23'56.1"	otoczenie stacji bazowej - 50m wzdłuż gł. osi promieniowania - GKP	<0,046	<0,045
7	1,1	2,45	0,003	0,006	1,0	N:54°10'29.7" E:19°24'00.85"	otoczenie stacji bazowej - 200m wzdłuż gł. osi promieniowania - GKP	0,063	0,062
8	1,7	3,78	0,005	0,010	0,9	N:54°10'28.5" E:19°24'02.3"	otoczenie stacji bazowej - 250m wzdłuż gł. osi promieniowania - GKP	0,097	0,096
9	1,1	2,45	0,003	0,006	1,1	N:54°10'27.3" E:19°24'03.7"	otoczenie stacji bazowej - 300m wzdłuż gł. osi promieniowania - GKP	0,063	0,062
10	0,8	1,78	0,002	0,005	0,8	N:54°10'35.9" E:19°23'51.2"	otoczenie stacji bazowej - 50m wzdłuż gł. osi promieniowania - GKP	0,046	0,045
11	<0,8*	<1,78	<0,002	<0,005	0,3-2,0	N:54°10'35.7" E:19°23'48.7"	otoczenie stacji bazowej - 100m wzdłuż gł. osi promieniowania - GKP	<0,046	<0,045
21	<0,8*	<1,78	<0,002	<0,005	0,3-2,0	N:54°10'35.6" E:19°23'46.1"	otoczenie stacji bazowej - 150m wzdłuż gł. osi promieniowania - GKP	<0,046	<0,045
13	<0,8*	<1,78	<0,002	<0,005	0,3-2,0	N:54°10'25.2" E:19°23'44.1"	otoczenie stacji bazowej - 200m wzdłuż gł. osi promieniowania - GKP	<0,046	<0,045
14	<0,8*	<1,78	<0,002	<0,005	0,3-2,0	N:54°10'34.6" E:19°23'38.5"	otoczenie stacji bazowej - 300m wzdłuż gł. osi promieniowania - GKP	<0,046	<0,045
15	<0,8*	<1,78	<0,002	<0,005	0,3-2,0	N:54°10'34.4" E:19°23'35.6"	otoczenie stacji bazowej - 350m wzdłuż gł. osi promieniowania - GKP	<0,046	<0,045
16	<0,8*	<1,78	<0,002	<0,005	0,3-2,0	N:54°10'34.2" E:19°23'33.6"	otoczenie stacji bazowej - 385m wzdłuż gł. osi promieniowania - GKP	<0,046	<0,045
17	<0,8*	<1,78	<0,002	<0,005	0,3-2,0	N:54°10'35.9" E:19°24'00.2"	otoczenie stacji bazowej - 100m wzdłuż gł. osi promieniowania - GKP	<0,046	<0,045
18	<0,8*	<1,78	<0,002	<0,005	0,3-2,0	N:54°10'32.6" E:19°23'55.7"	otoczenie stacji bazowej - 100m wzdłuż gł. osi promieniowania - GKP	<0,046	<0,045
19	<0,8*	<1,78	<0,002	<0,005	0,3-2,0	N:54°10'33.3" E:19°23'50.5"	otoczenie stacji bazowej - 100m wzdłuż gł. osi promieniowania - GKP	<0,046	<0,045
20	<0,8*	<1,78	<0,002	<0,005	0,3-2,0	N:54°10'37.5" E:19°23'50.2"	otoczenie stacji bazowej - 100m wzdłuż gł. osi promieniowania - GKP	<0,046	<0,045
21	<0,8*	<1,78	<0,002	<0,005	0,3-2,0	N:54°10'39.1" E:19°23'54.0"	otoczenie stacji bazowej - 100m wzdłuż gł. osi promieniowania - GKP	<0,046	<0,045
22	<0,8*	<1,78	<0,002	<0,005	0,3-2,0	N:54°10'38.1" E:19°23'58.4"	otoczenie stacji bazowej - GKP	<0,046	<0,045
23	0,8	1,78	0,002	0,005	1,2	N:54°10'36.4" E:19°23'56.2"	otoczenie stacji bazowej - GKP	0,046	0,045
24	0,8	1,78	0,002	0,005	1,0	N:54°10'33.0" E:19°23'52.5"	otoczenie stacji bazowej - GKP	0,046	0,045
25	<0,8*	<1,78	<0,002	<0,005	0,3-2,0	N:54°10'39.5" E:19°23'55.2"	otoczenie stacji bazowej - GKP	<0,046	<0,045
A	1,3	2,89	0,003	0,008	1,2	N:54°10'36.0" E:19°23'54.8"	Brzeska 30, piętro 10, okno, klatka - DPP	0,074	0,073
B	0,8	1,78	0,002	0,005	0,9	N:54°10'36.8" E:19°23'57.5"	Brzeska 32, pomiar przed budynkiem - DPP	0,046	0,045
C	<0,8*	<1,78	<0,002	<0,005	0,3-2,0	N:54°10'35.7" E:19°23'58.5"	Okrzei 29/31/31a, piętro 1, okno, klatka - DPP	<0,046	<0,045

„Bez pisemnej zgody Laboratorium niniejsze sprawozdanie nie może być powielane inaczej, jak tylko w całości. Ponadto wyniki dotyczą tylko badanych obiektów przywołanych w niniejszym sprawozdaniu z badań”  
27/03/OŚ/2021 - ELT

D	1,0	2,22	0,003	0,006	1,5	N:54°10'34.8" E:19°23'55.8"	Okrzei 23/25/27, piętro 1, okno, klatka -DPP	0,057	0,056
E	<0,8*	<1,78	<0,002	<0,005	0,3-2,0	N:54°10'34.1" E:19°23'52.9"	Okrzei 13/15/17/19/21, pomiar przed budynkiem -DPP	<0,046	<0,045
F	0,9	2,00	0,002	0,005	1,4	N:54°10'34.9" E:19°23'51.4"	Brzeska 20/22/24/26/28, pomiar przed budynkiem -DPP	0,051	0,051
G	<0,8*	<1,78	<0,002	<0,005	0,3-2,0	N:54°10'36.4" E:19°23'49.7"	Brzeska 19/21/23/25, pomiar przed budynkiem -DPP	<0,046	<0,045
H	0,8	1,78	0,002	0,005	1,2	N:54°10'37.4" E:19°23'51.4"	Brzeska 27/29/31, pomiar przed budynkiem -DPP	0,046	0,045
I	<0,8*	<1,78	<0,002	<0,005	0,3-2,0	N:54°10'38.8" E:19°23'50.4"	Brzeska 35/37/39, pomiar przed budynkiem -DPP	<0,046	<0,045
J	<0,8*	<1,78	<0,002	<0,005	0,3-2,0	N:54°10'33.0" E:19°23'57.7"	Daszyńskiego 15/16/17/18/19, pomiar przed budynkiem -DPP	<0,046	<0,045
K	<0,8*	<1,78	<0,002	<0,005	0,3-2,0	N:54°10'32.7" E:19°23'53.5"	Okrzei 16/18/20, pomiar przed budynkiem -DPP	<0,046	<0,045
L	<0,8*	<1,78	<0,002	<0,005	0,3-2,0	N:54°10'32.1" E:19°23'56.2"	Daszyńskiego 20/21, pomiar przed budynkiem -DPP	<0,046	<0,045
M	<0,8*	<1,78	<0,002	<0,005	0,3-2,0	N:54°10'34.5" E:19°23'58.7"	Okrzei 28/30/32, piętro 1, okno, klatka -DPP	<0,046	<0,045
N	<0,8*	<1,78	<0,002	<0,005	0,3-2,0	N:54°10'30.6" E:19°23'59.4"	Daszyńskiego 11/12/13/14, pomiar przed budynkiem -DPP	<0,046	<0,045
O	1,6	3,56	0,004	0,009	1,5	N:54°10'26.8" E:19°24'04.3"	Próchnika 5/7, pomiar przed budynkiem -DPP	0,091	0,090
P	<0,8*	<1,78	<0,002	<0,005	0,3-2,0	N:54°10'25.9" E:19°24'04.2"	Próchnika 1/3, pomiar przed budynkiem -DPP	<0,046	<0,045
R	<0,8*	<1,78	<0,002	<0,005	0,3-2,0	N:54°10'24.9" E:19°24'05.8"	Próchnika 2/4/6, pomiar przed budynkiem -DPP	<0,046	<0,045
S	<0,8*	<1,78	<0,002	<0,005	0,3-2,0	N:54°10'34.7" E:19°23'45.5"	Brzeska 13/15/17, pomiar przed budynkiem -DPP	<0,046	<0,045
T	<0,8*	<1,78	<0,002	<0,005	0,3-2,0	N:54°10'34.9" E:19°23'43.7"	Brzeska 5/7/9/11, pomiar przed budynkiem -DPP	<0,046	<0,045
U	<0,8*	<1,78	<0,002	<0,005	0,3-2,0	N:54°10'35.1" E:19°23'41.2"	Rypińska 1, pomiar przed budynkiem -DPP	<0,046	<0,045
W	<0,8*	<1,78	<0,002	<0,005	0,3-2,0	N:54°10'35.5" E:19°23'42.2"	Rypińska 2, pomiar przed budynkiem -DPP	<0,046	<0,045
V	1,0	2,22	0,003	0,006	1,2	N:54°10'42.5" E:19°24'01.7"	Robotnicza 171, pomiar przed budynkiem -DPP	0,057	0,056
X	0,9	2,00	0,002	0,005	1,3	N:54°10'43.9" E:19°24'59.8"	Robotnicza 173, pomiar przed budynkiem -DPP	0,051	0,051
Y	1,4	3,11	0,004	0,008	1,0	N:54°10'43.8" E:19°24'02.2"	Robotnicza 200, piętro 1, okno, klatka -DPP	0,080	0,079
Z	1,2	2,67	0,003	0,007	1,5	N:54°10'44.7" E:19°24'02.0"	Robotnicza 202, pomiar przed budynkiem -DPP	0,069	0,068
A1	<0,8*	<1,78	<0,002	<0,005	0,3-2,0	N:54°10'46.1" E:19°24'03.7"	Matejki 9, pomiar przed budynkiem - DPP	<0,046	<0,045

wynik pomiaru pole - E [V/m] - maksymalna wartość chwilowa zmierzona w danych pionie pomiarowym

\* poniżej czułości zestawu pomiarowego

GKP - główne kierunki pomiarowe

PKP - pomocnicze kierunki pomiarowe

DPP- dodatkowe punkty pomiarowe

PP – pion pomiarowy

U - niepewność pomiarowa rozszerzona, przy poziomie ufności 95%, z uwzględnieniem współczynnika rozszerzenia k=2

kE– poprawka pomiarowa badanej instalacji radiokomunikacyjnej podana przez operatora (kE=1,4), poprawka pomiarowa w przypadku oddziaływania innych instalacji radiokomunikacyjnych na badany obszar (kE=2,0)

WM<sub>E</sub> - wartość wskaźnikowa poziomu emisji pól elektromagnetycznych dla miejsc dostępnych dla ludności dla składowej elektrycznej pola

WM<sub>H</sub> - wartość wskaźnikowa poziomu emisji pól elektromagnetycznych dla miejsc dostępnych dla ludności dla składowej magnetycznej pola

Przyjęto najniższą dopuszczalną wartość składowej elektrycznej pola dla objętego pomiarami zakresu częstotliwości min(ME<sub>gr</sub>)= 38,8 V/m oraz składowej magnetycznej min(MH<sub>gr</sub>)= 0,105 A/m.

„Bez pisemnej zgody Laboratorium niniejsze sprawozdanie nie może być powielane inaczej, jak tylko w całości. Ponadto wyniki dotyczą tylko badanych obiektów przywołanych w niniejszym sprawozdaniu z badań”

## 7. Stwierdzenie zgodności

Na podstawie wytycznych podanych w Rozporządzeniu Ministra Zdrowia z dnia 17 grudnia 2019 r. w sprawie dopuszczalnych poziomów pól elektromagnetycznych w środowisku (Dz.U. 2019 poz. 2448) oraz sposobów sprawdzania dotrzymania tych poziomów zgodnie z Rozporządzeniem Ministra Klimatu z dnia 17 lutego 2020 r. w sprawie sposobów sprawdzania dotrzymania dopuszczalnych poziomów pól elektromagnetycznych w środowisku (Dz.U. 2020 poz. 258) dotyczących źródła wymagań, które muszą być spełnione (załącznik do rozporządzenia Ministra Klimatu z dnia 17 lutego 2020 r. (poz. 258)), w oparciu o zasadę podejmowania decyzji zgodną z pkt 26 załącznika do rozporządzenia Ministra Klimatu z dnia 17 lutego 2020 r. (poz. 258), na podstawie wyników pomiarów pól elektromagnetycznych wykonanych w dniu 26.03.2021 stwierdzono, iż w miejscach dostępnych dla ludności, dopuszczalne poziomy pól elektromagnetycznych w środowisku, określone w przepisach wydanych na podstawie art. 122 ust. 1 ustawy z dnia 27 kwietnia 2001 r. – Prawo ochrony środowiska, uznaje się za dotrzymane w obszarze pomiarowym, w którym w wyniku zastosowania sposobu sprawdzenia dotrzymania dopuszczalnych poziomów pól elektromagnetycznych w środowisku, udokumentowano, że żadna z wartości wskaźnikowych nie przekracza wartości 1.

## 8. Oświadczenie.

Wyniki badania odnoszą się wyłącznie do badanego obiektu.

Bez pisemnej zgody sprawozdanie nie może być powielane inaczej, jak tylko w całości.

Uwagi i zastrzeżenia przyjmowane są w formie pisemnej w ciągu 14 dni od daty otrzymania sprawozdania.

## 9. Spis załączników.

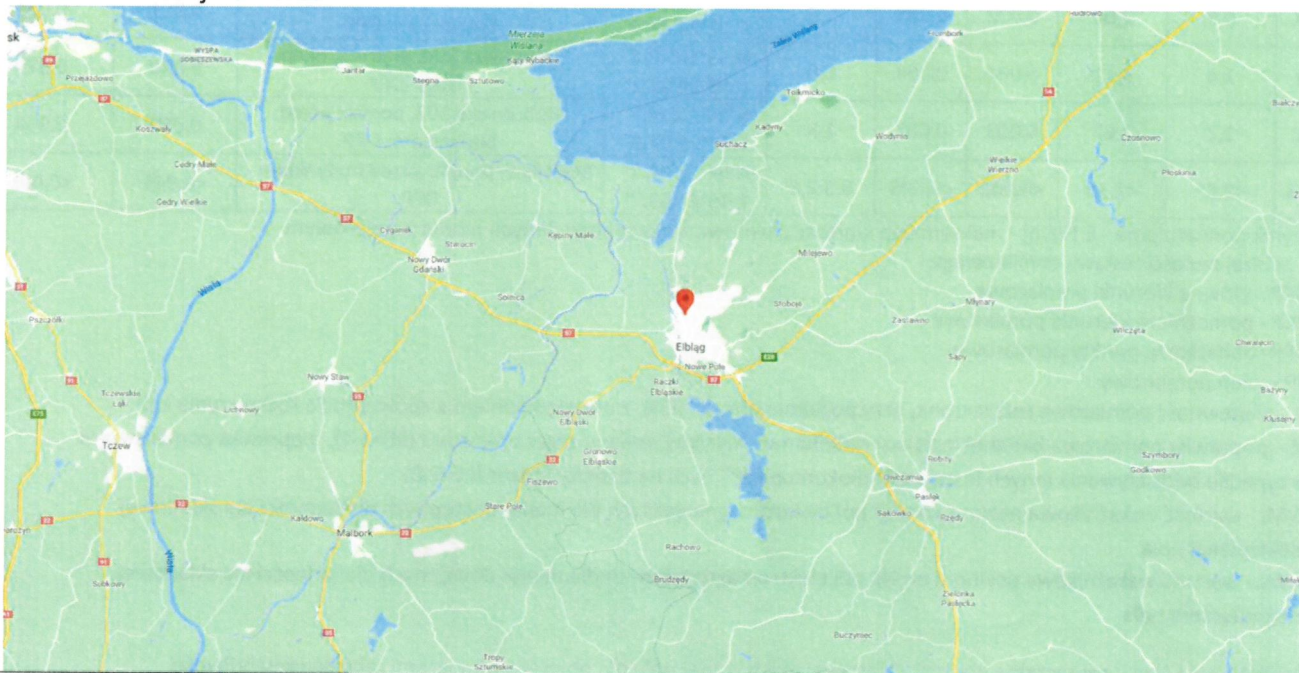
Załącznik 1. Lokalizacja obiektu.

Załącznik 2. Widok pionowy pomiarowych

Załącznik 3. Załączniki graficzne

**Koniec sprawozdania**

### Załącznik 1. Lokalizacja obiektu

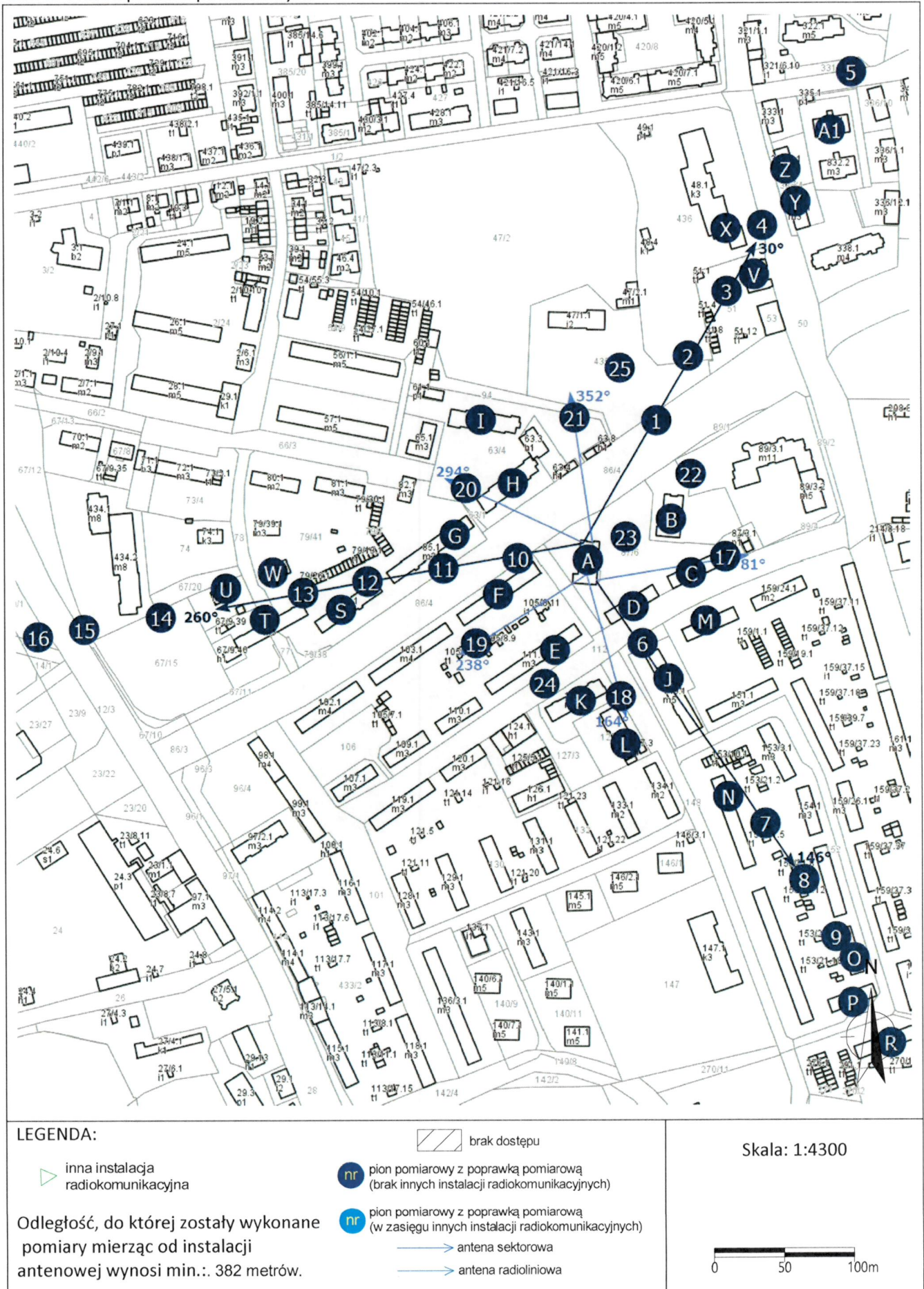


Współrzędne geograficzne	
długość:	19°23'54.40"E
szerokość:	54°10'35.80"N

„Bez pisemnej zgody Laboratorium niniejsze sprawozdanie nie może być powielane inaczej, jak tylko w całości. Ponadto wyniki dotyczą tylko badanych obiektów przywołanych w niniejszym sprawozdaniu z badań”

27/03/OŚ/2021 - ELT

Załącznik 2. Widok pionów pomiarowych



„Bez pisemnej zgody Laboratorium niniejsze sprawozdanie nie może być powielane inaczej, jak tylko w całości. Ponadto wyniki dotyczą tylko badanych obiektów przywołanych w niniejszym sprawozdaniu z badań”

Załącznik 3. Załączniki graficzne.

